

پایداری دینامیکی ورق‌های ترک‌دار در لبه

مهیار جاویدروزی (استادیار)

دانشکده‌ی معماری و شهرسازی، دانشگاه شهید بهشتی

ابوالحسن وفانی (استاد)

همایون اسمعیل پوراستکانچی (استادیار)

دانشکده‌ی مهندسی عمران، دانشگاه صنعتی شریف

در نوشتار حاضر به بررسی رفتار ارتعاشی، کماتش و پایداری دینامیکی ورق‌های مستطیلی، با تکیه‌گاه ساده در چهار لبه و دارای ترک لبه‌ی در یک سمت، زمانی که تحت اثر بار محوری فشاری (واقع در صفحه‌ی ورق) در دو لبه‌ی مقابل قرار دارند، می‌پردازیم. با استخراج بسامدهای ارتعاش آزاد و مدهای ارتعاشی متناظر به صورت تحلیلی، و جایگذاری آنها در معادله‌ی انتگرال-دیفرانسیلی مسئله، ماتریس فشرده‌ی خواص داشت که پس از یک بار تعیین درایه‌های آن، می‌توان مقادیر بار بحرانی کماتش و نواحی ناپایداری دینامیکی را برای انواع حالات بارگذاری، تعیین کرد. به این منظور تعدادی ورق ترک‌دار با ابعاد هندسی مختلف مورد بررسی قرار می‌گیرد. مقایسه‌ی نتایج حاصل از این روش با نتایج حاصل از روش اجزاء محدود نشان می‌دهد که هر دو روش به مقادیر یکسانی منتهی می‌شوند.

مقدمه

می‌شوند ناحیه‌ی ناپایداری را تشکیل می‌دهند. در این خصوص بررسی‌های جامع‌تری صورت گرفته که نتایج آنها در منابع مختلف در دسترس است. [۱۴، ۱۵]

به منظور بررسی رفتار ناپایداری پارامتری یک سازه می‌توان از دو روش تحلیلی [۱۴] یا عددی [۱۶، ۱۷] استفاده کرد که در این میان روش تحلیلی از دیدگاه نظری از اهمیت قابل توجهی برخوردار است. در تحقیق حاضر، با استفاده از روش معادلات انتگرال-دیفرانسیلی پایداری دینامیکی ورق‌های ترک‌دار در لبه بررسی می‌شود و اثر پارامترهای مختلف نظیر ضریب بار استاتیکی، بسامد و دامنه‌ی بار دینامیکی، طول ترک و هندسه‌ی ورق مورد مطالعه قرار می‌گیرد.

ورق‌ها یکی از اجزاء تشکیل‌دهنده‌ی اغلب سازه‌های مورد استفاده در بسیاری از زمینه‌های علوم مهندسی نظیر عمران، مکانیک و هوافضا هستند. گوشه‌های نوک‌تیز بازشوها و گوشه‌ها معمولاً برای پیدایش و گسترش ترک‌ها، به ویژه در سازه‌ی در معرض بار دینامیکی، بسیار مستعدند. بررسی رفتار ورق‌های ترک‌دار تاکنون موضوع بسیاری از مطالعات بوده است. این بررسی‌ها می‌تواند از دو دیدگاه بارگذاری استاتیکی و دینامیکی مورد توجه قرار گیرد. در تحلیل استاتیکی تغییر مکان‌های خارج از صفحه، ناشی از پدیده‌ی کماتش یا پس از کماتش مورد بررسی قرار می‌گیرد. [۱۱-۱۴] در تحلیل دینامیکی مطالعه‌ی مواردی که در آنها ارتعاشات خمشی در غیاب یا با حضور تنش‌های اولیه‌ی صفحه‌ی در نظر گرفته می‌شود مد نظر است. [۴-۱۰]

روابط حاکم

تغییر شکل ورق $w(x,y,t)$ تحت اثر بار پارامتری $N_x(t) = N_0 + N_1 \cos \theta t$ (که در حالت کششی مثبت فرض می‌شود) از حل معادله‌ی دیفرانسیل زیر به دست می‌آید:

$$D \nabla^4 w(x,y,t) = \frac{1}{D} (N_x(t) \frac{\partial^2 w}{\partial x^2} - \mu \frac{\partial^2 w}{\partial t^2}), \quad (1)$$

که در آن D سختی خمشی بوده و به صورت زیر تعریف می‌شود:

$$D = \frac{Eh^3}{12(1-\nu^2)}, \quad (2)$$

علی‌رغم اهمیت کاربردی ورق‌های ترک‌دار، منابع علمی-فنی منتشره در زمینه‌ی پایداری دینامیکی آنها بسیار محدود است. [۱۱-۱۳] ناپایداری دینامیکی، سازه بر اساس ارتعاشات عرضی حاصل از بارگذاری تناوبی در داخل صفحه رخ می‌دهد. این ناپایداری ممکن است در ترکیبی از سه پارامتر بسامدهای طبیعی ارتعاش جانبی، بسامد بارگذاری و دامنه‌ی آن منجر به وقوع پدیده‌ی تشدید شود که در اصطلاح فنی «تشدید پارامتری» نامیده می‌شود. گستره‌ی از مقادیر پارامترهای فوق که باعث ناپایداری حرکت

که در آن h ضخامت، E مدول کشسانی، ν ضریب پواسن مصالح ورق و μ جرم واحد سطح آن است. با تعریف تابع تأثیر تغییر شکل $K(x,y,\xi,\eta)$ ، تغییر مکان نقطه x و y ورق تحت اثر بار واحد در نقطه ξ و η به دست می آید. رابطه ۱ به صورت معادله انتگرال - دیفرانسیلی زیر خواهد بود:

$$C \begin{bmatrix} \sqrt{\omega_1^2} & \cdot & \cdot & \dots \\ \cdot & \sqrt{\omega_2^2} & \cdot & \dots \\ \cdot & \cdot & \sqrt{\omega_3^2} & \dots \\ \vdots & \vdots & \vdots & \ddots \end{bmatrix}, \quad (11)$$

$$F(t) \begin{bmatrix} F_{11}(t) & F_{12}(t) & F_{13}(t) & \dots \\ F_{21}(t) & F_{22}(t) & F_{23}(t) & \dots \\ F_{31}(t) & F_{32}(t) & F_{33}(t) & \dots \\ \vdots & \vdots & \vdots & \ddots \end{bmatrix}, \quad (12)$$

و $f_k(t)$ متشکل از توابع زمانی $f_k(t)$ است که در رابطه ۴ و ۹ معرفی شد.

ورق دارای ترک در لبه

در حالت ورق مستطیل شکل همراه با ترک در لبه تحت اثر فشار یکنواخت در دولبه و دارای تکیه گاه های ساده، توابع ارتعاش آزاد به شکل زیر خواهد بود: [۱۳]

$$w_i(x,y) = \sum_{m=1}^{\infty} Y_{im}(y) \sin(mx), \quad (13)$$

که در آن

$$Y_{im}(y) = \frac{1}{D} [A_{im} \sinh(r_{vi} y) + B_{im} \cosh(r_{vi} y) + C_{im} \sinh(r_{\tau i} y) + D_{im} \cosh(r_{\tau i} y)] \quad (14)$$

$$r_{vi} = \sqrt{k\omega_i + m^2},$$

$$r_{\tau i} = \sqrt{k\omega_i - m^2},$$

$$k = \frac{\mu}{D}. \quad (15)$$

ضریب های A_{im} ، B_{im} ، C_{im} ، D_{im} با توجه به شرایط مرزی تعیین می شوند. توابع ویژه نرمال با استفاده از رابطه ۵ به صورت زیر خواهد بود:

$$\varphi_i(x,y) = \frac{w_i(x,y)}{\sqrt{\iint w_i^2(x,y) dx dy}} \quad (16)$$

با انجام عملیات انتگرال گیری و سپس ساده سازی، رابطه ۱۶ به صورت رابطه ۱۷ بازنویسی می شود:

$$w(x,y,t) + \mu \iint k(x,y,\xi,\eta) \frac{\partial^2 w(\xi,\eta,t)}{\partial t^2} d\xi d\eta - N_x(t) \iint k(x,y,\xi,\eta) \frac{\partial^2 w(\xi,\eta,t)}{\partial \xi^2} d\xi d\eta = 0 \quad (3)$$

جواب معادله ۳ را می توان به صورت سری به دست آورد. [۱۴]

$$w(x,y,t) = \sum_{k=1}^{\infty} f_k(t) \varphi_k(x,y), \quad (4)$$

که در آن $\varphi_k(x,y)$ توابع ویژه ارتعاش آزاد نرمال شده است:

$$\mu \iint \varphi_i(x,y) \varphi_k(x,y) dx dy = \delta_{ik} \quad (5)$$

δ_{ik} تابع دلتای دیراک است) و $f_k(t)$ توابع زمانی هستند که به عنوان مجهول باید تعیین و محاسبه شوند. با جایگذاری رابطه ۴ در رابطه ۳ و در نظر گرفتن این که مسئله ی مقادیر ویژه ی ارتعاش آزاد از رابطه ی زیر به دست می آید:

$$\iint k(x,y,\xi,\eta) \varphi_i(\xi,\eta) d\xi d\eta = \frac{\varphi_i(x,y)}{\omega_i^2}, \quad (6)$$

و با استفاده از بسط زیر:

$$N_x(t) \iint k(x,y,\xi,\eta) \frac{\partial^2 \varphi_k(\xi,\eta)}{\partial \xi^2} d\xi d\eta = \sum_{i=1}^{\infty} a_{ik}(t) \varphi_i(x,y), \quad (7)$$

به دستگاهی از معادلات دیفرانسیل از ضرایب سری رابطه ۴ می رسیم:

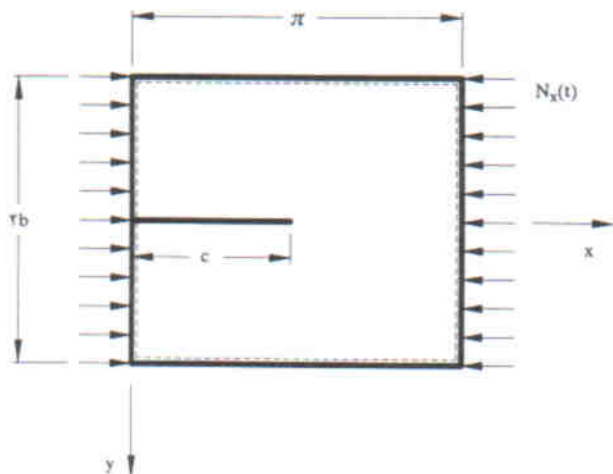
$$f_i'' + \omega_i^2 \left[f_i - \sum_{k=1}^{\infty} F_{ik}(t) f_k \right] = 0, \quad i=1,2,\dots \quad (8)$$

توابع $F_{ik}(t)$ با استفاده از رابطه ی زیر تعریف می شوند:

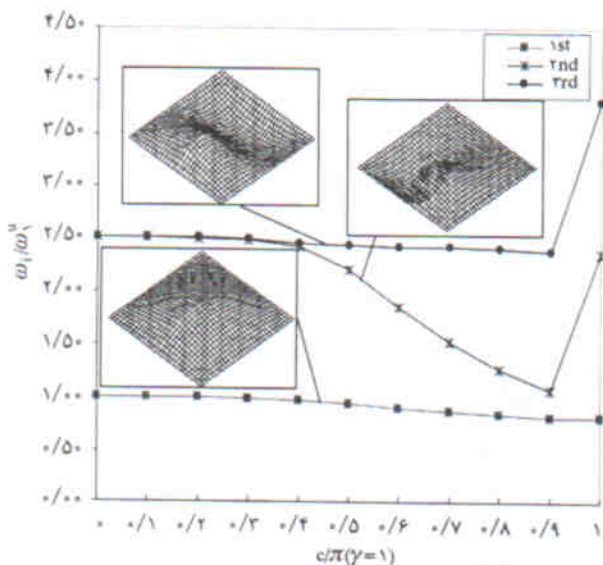
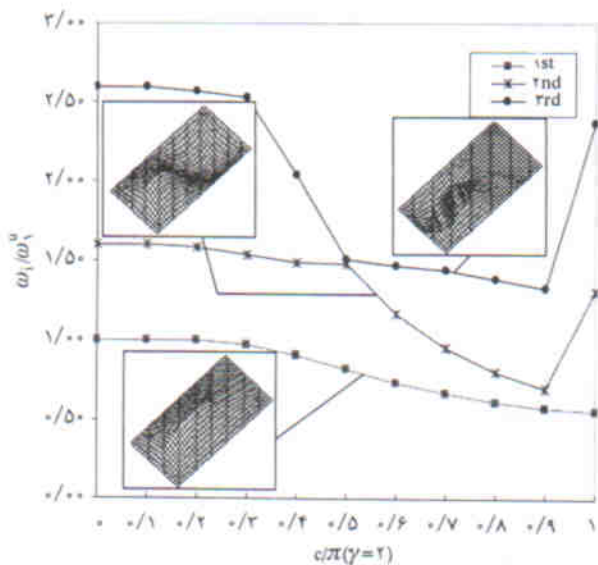
$$F_{ik}(t) = \frac{1}{\omega_i^2} \iint \varphi_i(N_x(t) \frac{\partial^2 \varphi_k}{\partial x^2}) dx dy, \quad (9)$$

در رابطه ۸، f نشانه ی مشتق زمانی است. این رابطه را می توان به شکل ماتریس زیر نیز بیان کرد:

$$C \frac{d^2 f}{dt^2} + [I - F(t)] f = 0 \quad (10)$$



شکل ۱. ورق مستطیل با ترک لبه‌یی تحت اثر فشار یکنواخت در دو لبه.



شکل ۲. اثر اندازه‌ی ترک بر بسامدهای طبیعی مقیاس شده.

$$\varphi_i(x,y) = \sqrt{\frac{\gamma}{\pi\mu}} \frac{w_i(x,y)}{\sqrt{\sum_{m=1}^{\infty} \int_a^b Y_{im}^T(y) dy}} \quad (17)$$

با جایگذاری رابطه‌ی ۱۷ در رابطه‌ی ۹، $F_{ik}(t)$ طبق رابطه‌ی ۱۸ محاسبه می‌شود (فرض می‌شود که $N_x(t)$ فشاری است):

$$F_{ik}(t) = N_x(t) \alpha_{ik},$$

$$\alpha_{ik} = \frac{1}{\mu\omega_0^0} \frac{\sum_{m=1}^{\infty} m^{\gamma} \int_a^b Y_{im}(y) Y_{km}(y) dy}{\sqrt{\left[\sum_{p=1}^{\infty} Y_{ip}^T(\xi) d\xi \right] \left[\sum_{q=1}^{\infty} Y_{iq}^T(\xi) d\xi \right]}} \quad (18)$$

در تقریب اول، مرزهای نواحی اصلی ناپایداری به صورت رابطه‌ی ۱۹ به دست می‌آید:

$$\left| I - \lambda A - \frac{1}{\gamma} \theta^T C \right| = 0, \quad (19)$$

که در آن

$$\lambda = N_s \pm \frac{1}{\gamma} N_T, \quad (20)$$

اکنون به بررسی برخی ویژگی‌های رابطه‌ی ۹ می‌پردازیم. چنانچه θ و N_T مساوی صفر قرار داده شوند، رابطه‌ی ۱۹ به رابطه‌ی ۲۱ تبدیل می‌شود:

$$\left| I - N_s^* A \right| = 0, \quad (21)$$

که در آن N_s^* مقادیر مدهای بار کماتش بحرانی خواهد بود. خاصیت دیگر رابطه‌ی ۹ زمانی پدیدار می‌شود که N_T مساوی صفر قرار گیرد.

$$\left| I - N_s A - \frac{1}{\gamma} \theta^T C \right| = 0. \quad (22)$$

و در نتیجه جواب‌های رابطه‌ی ۲۲ بسامدهای طبیعی ورق خواهد بود. زمانی که تحت بار محوری فشاری $\left[|N_s| < |N_s^*| \right]$ یا کششی $(N_s < 0)$ قرار می‌گیرد. بالاخره زمانی که λ برابر یا صفر باشد جواب‌های رابطه‌ی ۱۹ بسامدهای ارتعاش آزاد ورق ω خواهد بود.

محاسبات

هندسه کلی ورق ترک‌دار در شکل ۱ نشان داده شده است. در این شکل مقیاس مختصات و ابعاد ورق به وسیله‌ی ضریب $\bar{\alpha} \pi / \bar{\alpha}$ همان طول واقعی ورق است) تغییر یافته است. مختصات و ابعاد واقعی (متغیرهای باردار) با استفاده از $\bar{x} = \bar{\alpha} x / \pi$ ، $\bar{y} = \bar{\alpha} y / \pi$ و $\bar{c} = \bar{\alpha} c / \pi$ به دست می‌آیند. \bar{c} طول واقعی

ترک و c طول ترک پس از تغییر مقیاس است. پنج بسامد اول ارتعاش آزاد و اشکال مدی متناظر با آنها برای ورق با نسبت ابعاد $\gamma = 2b/\pi$ و طول ترک های c/π مختلف محاسبه شد. تفصیل جزئیات روش محاسبه در دسترس است. شکل ۲ اثر اندازه‌ی ترک را بر سه مد اول بسامدهای طبیعی که نسبت به بسامد اصلی ارتعاش آزاد ورق ترک نخورده‌ی ω_1^* مقیاس شده، نشان می‌دهد.

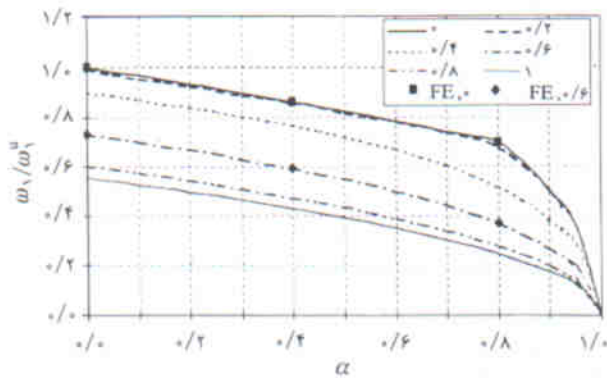
جدول ۱. اثر تعداد سطر و ستون‌ها بر دقت جواب‌ها در کماتیک مقیاس شده $(N_S^*, N_{US,1}^*)$.

$\gamma = 2$

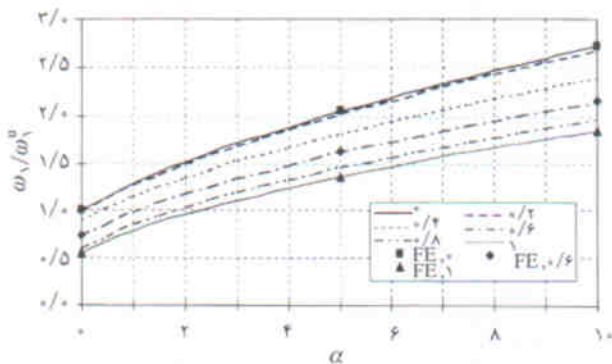
n=1		n=3			n=5			هدف		
c/π	#مورد	#مورد	#مورد	#مورد	#مورد	#مورد	#مورد	#مورد	#مورد	#مورد
0	1/562	1/000	1/175	1/562	1/000	1/175	1/562	1/000	1/174	1/562
0/1	1/560	0/998	1/172	1/561	-0/998	1/172	1/558			
0/2	1/535	-0/968	1/146	1/542	-0/968	1/146	1/542	-0/967	1/144	1/513
0/3	1/411	-0/871	1/127	1/495	-0/871	1/127	1/495	-0/870	1/125	1/476
0/4	1/157	-0/777	1/253	1/390	-0/764	1/125	1/191	-0/765	1/109	1/123
0/5	-0/916	-0/689	-0/948	1/279	-0/685	-0/894	1/099			
0/6	-0/753	-0/630	-0/793	1/117	-0/629	-0/747	1/000	-0/630	-0/744	-0/996
0/7	-0/642	-0/587	-0/702	-0/925	-0/586	-0/666	-0/870			
0/8	-0/562	-0/547	-0/642	-0/774	-0/546	-0/613	-0/763	-0/546	-0/609	-0/762
0/9	-0/508	-0/506	-0/601	-0/693	-0/506	-0/575	-0/692			
1	-0/485	-0/485	-0/668	-0/974	-0/485	-0/668	-0/974	-0/486	-0/669	-0/974

$\gamma = 1$

n=1		n=3			n=5			هدف		
c/π	#مورد	#مورد	#مورد	#مورد	#مورد	#مورد	#مورد	#مورد	#مورد	#مورد
0	1/000	1/000	1/562	6/248	1/000	1/562	2/963	1/000	1/562	2/775
0/1	1/000	1/000	1/562	6/248	1/000	1/562	4/001			
0/2	-0/996	-0/996	1/554	6/241	-0/996	1/554	3/982	-0/996	1/553	2/756
0/3	-0/981	-0/980	1/529	6/134	-0/980	1/529	3/757			
0/4	-0/945	-0/943	1/502	5/297	-0/943	1/502	2/902	-0/943	1/501	2/670
0/5	-0/889	-0/887	1/491	3/195	-0/887	1/490	2/071			
0/6	-0/825	-0/821	1/491	1/973	-0/821	1/490	1/604	-0/821	1/487	1/574
0/7	-0/763	-0/761	1/472	1/480	-0/761	1/315	1/479			
0/8	-0/714	-0/712	1/196	1/450	-0/712	1/119	1/450	-0/712	1/111	1/447
0/9	-0/679	-0/679	1/005	1/417	-0/679	-0/969	1/417			
1	-0/668	-0/668	1/005	1/452	-0/668	1/402	2/637	-0/668	1/401	2/632



شکل ۳. تغییرات بسامد اصلی ورق ترک‌دار نسبت به تغییرات بار محوری کششی $\gamma=2$



شکل ۴. تغییرات بسامد اصلی ورق ترک‌دار نسبت به تغییرات بار محوری کششی $\gamma=2$

روش اجزاء محدود نشان می‌دهد. در این شکل برای سهولت تفسیر نتایج مقادیر $N_{US,1}$ و ω_1 به ترتیب به وسیله‌ی بار کمناش بحرانی $N_{US,1}^*$ و بسامد ارتعاش طبیعی ω_1^0 ورق بدون ترک مقیاس شده‌اند. مشاهده می‌شود که با افزایش مقدار بار کششی، بسامد کاهش یافته و سرانجام با رسیدن مقدار بار با مقدار بار کمناش بحرانی صفر می‌شود. در شکل ۴ اثر بار محوری کششی بر بسامد اصلی ارتعاش آزاد در ورق با طول ترک‌های مختلف نشان داده شده است. مجدداً نتایج حاصل از این تحقیق و روش اجزاء محدود مورد مقایسه قرار گرفته است.

مقایسه‌ی روش موجود و روش اجزاء محدود نشان می‌دهد که نتایج هر دو روش به مقادیری مشابه منجر می‌شود. با این حال نباید از نظر دور داشت که در روش موجود سرعت رسیدن به جواب بسیار بالاتر از روش اجزاء محدود است ضمن اینکه در روش حاضر میزان فضای لازم برای ذخیره‌ی اطلاعات مورد نیاز برای تحلیل بسیار کم‌تر از روش اجزاء محدود است.

برای محاسبه‌ی ضرایب ماتریس A در رابطه‌ی ۱۹ از انتگرال عددی قاعده‌ی سیمپسون استفاده می‌شود. به این منظور یک برنامه‌ی رایانه‌ی نوشته‌شده و مقدار دقت و خطای عددی نیز کنترل شد. واضح است که به ازای پنج مدار تعاش آزاد، ماتریس مربع $F(t)$ حداکثر می‌تواند از رتبه‌ی پنج باشد؛ بنابراین برای هر حالت خاص هندسی ورق تنها کافی است ۲۵ مقدار عددی ذخیره شود. این مقدار ذخیره‌ی اطلاعات در مقایسه با روش اجزاء محدود بسیار ناچیز و مقرون به صرفه است.

به منظور اطمینان از دقت نتایج، ابتدا نتایج تحلیل کمناش استاتیکی حاصل از روش پیشنهادی در این مطالعه، با حل عددی رابطه‌ی ۲۱، و با نتایج روش اجزاء محدود مقایسه می‌شود. در تمامی حالات، به منظور کنترل همگرایی جواب، اثر تعداد توابع ارتعاش آزاد بر جواب کمناش استاتیکی مورد ارزیابی قرار گرفت (جدول ۱). در این جدول $N_{US,1}^*$ بار کمناش بحرانی ورق بدون ترک است. n در این جدول بیانگر تعداد توابع ارتعاش آزاد به کار رفته در محاسبه‌ی مقادیر بار کمناش است (به عنوان مثال در $n=1$ تنها یک مدار تعاش آزاد لحاظ شده است). در ادامه سه مقدار ویژه‌ی اول از حل معادله‌ی کمناش استاتیکی به دست آمد (در حالت $n=1$ تنها یک مقدار قابل استخراج است) و با نتایج تحقیقات به دست آمده‌ی قبلی با عنوان مقادیر هدف، مقایسه شد.

لازم به توضیح است که انجام فرایند بالا، در مطالعات پایداری دینامیکی که در ادامه خواهد آمد، ضروری به نظر می‌رسد. در حقیقت برای هر مثال از ورق‌های مورد بررسی قرار گرفته در این تحقیق، گام اول تعیین تعداد توابع ارتعاش آزاد پایه‌ی است که به نتایج با دقت مورد نیاز منتهی می‌شود.

نتایج بررسی پایداری دینامیکی

بررسی یک ورق ترک‌دار در لبه و تکیه‌گاه ساده تحت بار محوری درون صفحه‌ی در دو لبه‌ی مقابل یا یکدیگر و موازی با راستای ترک مورد نظر است. اثر نسبت ابعاد ورق γ ، طول ترک c/π ، ماهیت و بسامد بارگذاری بر روی ارتعاش، کمناش و پایداری دینامیکی ورق مطالعه می‌شود و نتایج حاصل از تقریب اول در ادامه مورد بحث قرار می‌گیرد.

رفتار ارتعاشی

شکل ۱۳ اثر بار محوری N_{US} بر بسامد اصلی ارتعاش ω_1 برای ورق با طول ترک متفاوت، رابطه‌ی ۲۲، و مقایسه‌ی آن را با نتایج حاصل از

پایداری دینامیکی

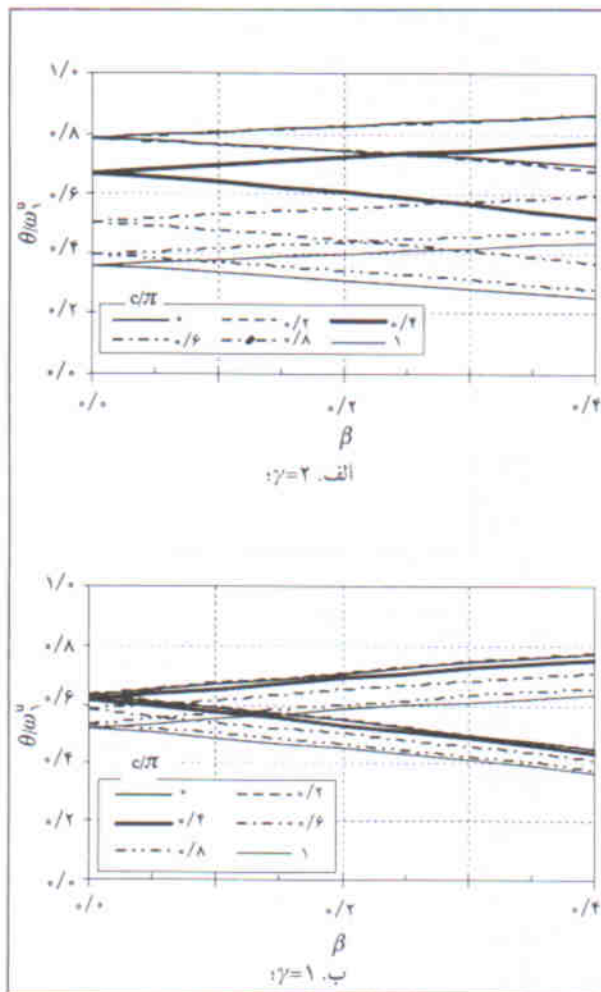
در این بخش پایداری دینامیکی ورق‌های ترک‌دار لبه‌یی تحت اثر بار محوری فشاری متناوب مورد بررسی قرار می‌گیرد. ضریب بار استاتیکی (α) و ضریب بار دینامیکی (β) درصد‌های بار کمانش استاتیکی، $N_{s,1}$ هستند. شکل ۶ اثر تغییرات طول ترک c/π بر ناحیه‌ی اول ناپایداری را، هنگامی که نمونه‌ها تحت اثر بار ثابت استاتیکی به میزان $\alpha=0/6$ قرار دارند، برای ورق با ابعاد مختلف نشان می‌دهد.

همچنین در شکل ۷ سه ناحیه‌ی اول ناپایداری در ورق‌ها، با طول ترک‌های برابر با $c/\pi=0/6$ و با ابعاد مختلف، هنگامی که ضریب بار استاتیکی (α) برابر با $0/4$ و $0/6$ است نمایش داده شده است. اثر ضریب بار استاتیکی (α) بر ناحیه‌ی اول ناپایداری در شکل ۸ برای ورق با ابعاد مختلف نشان داده شده است.

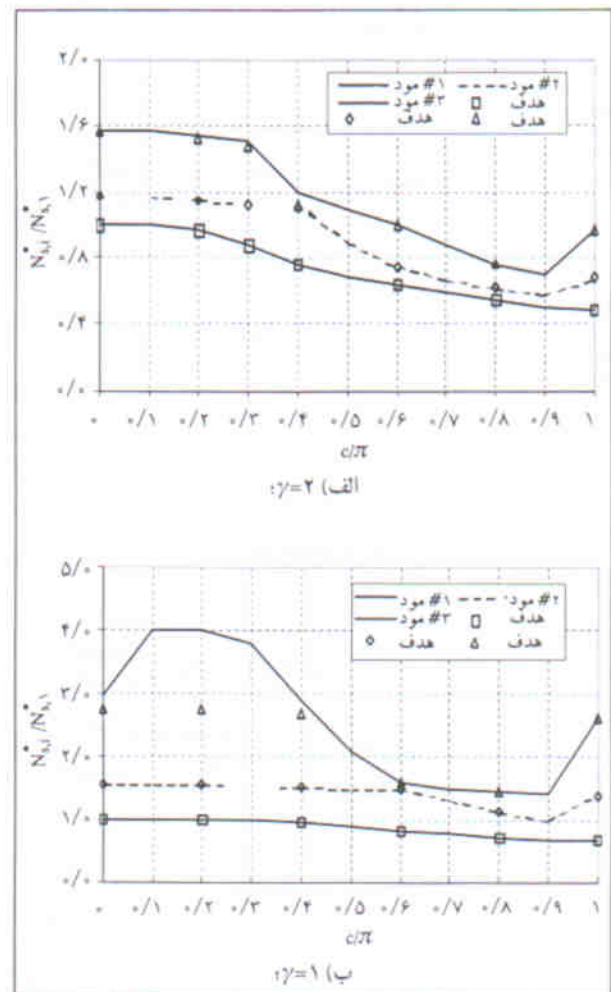
ملاحظه می‌شود که با افزایش α بسامد مرکزی ناحیه‌ی اول

رفتار کمانش استاتیکی

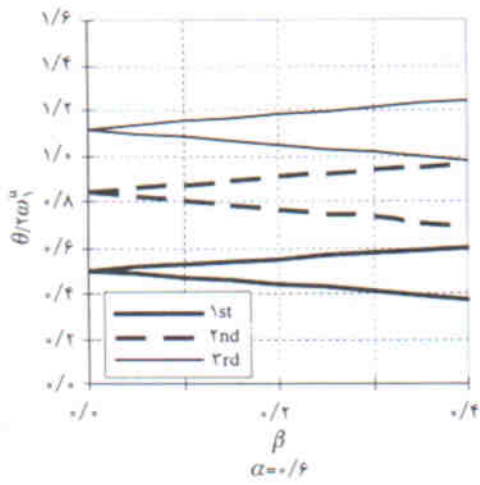
شکل ۵ اثر c/π و γ را بر سه مقدار اول بار کمانش استاتیکی ورق، زمانی که تحت اثر بار محوری فشاری در لبه‌ها قرار دارد، نشان می‌دهد. در این شکل منحنی‌ها نشانگر نتایج به دست آمده از حل معادله‌ی ۲۱ و نقاط هدف نتایج حاصل از تحلیل اجزاء محدودند. چنان‌که مشاهده می‌شود، به غیر از بار کمانش سوم، هنگامی که $\gamma=1/0$ و $c/\pi < 0/5$ ، هر دو روش به مقادیر یکسانی منتهی می‌شوند. دلیل عمده‌ی این اختلاف نتایج را می‌توان در این نکته یافت که به منظور ارضاء شرایط صحت رابطه‌ی ۴، توابع شکل $\varphi_k(x,y)$ باید شرایط تعامد را ارضاء کنند. مع الوصف با دقت در شکل ۲، مشاهده می‌شود که در ورق‌های مورد اشاره، مدهای دوم و سوم بسامدهای یکسان دارند. به تعبیر دیگر، شرایط تعامد مد دوم و سوم برقرار نبوده و به همین دلیل دو روش به نتایج یکسان منتهی نمی‌شود.



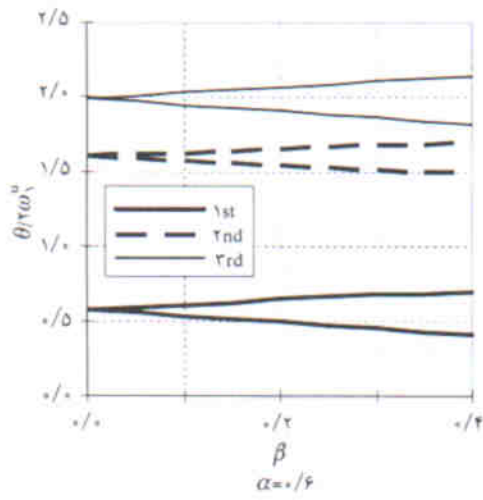
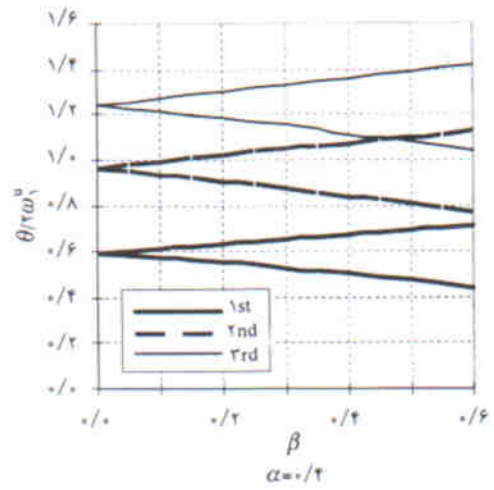
شکل ۶. اثر اندازه‌ی ترک بر ناحیه‌ی اصلی ناپایداری، $\alpha=0/6$



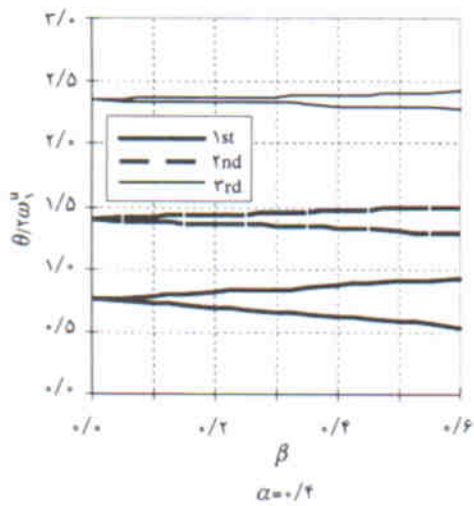
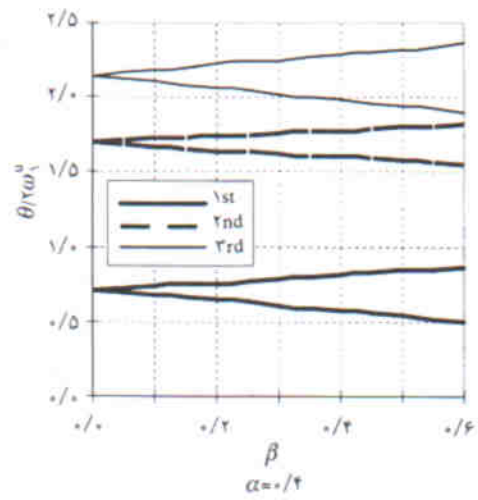
شکل ۵. اثر تغییر طول ترک بر بار کمانش بدون بعد.



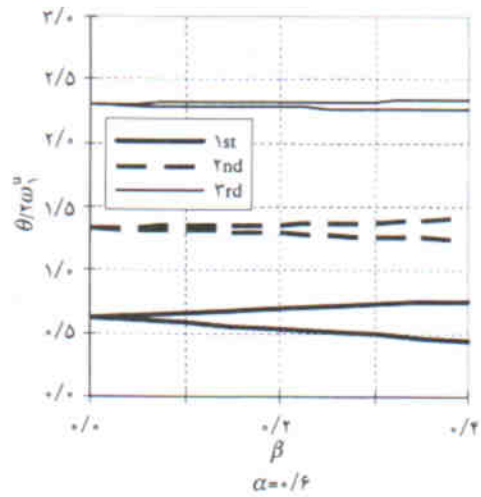
الف) $\gamma=2$



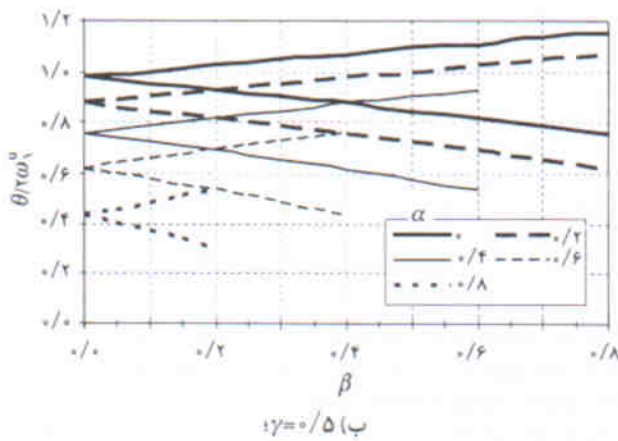
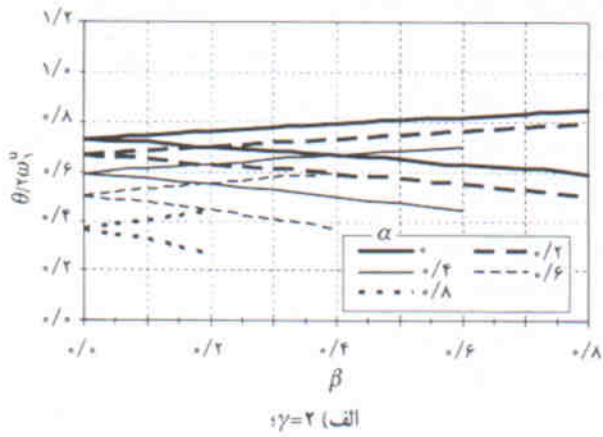
ب) $\gamma=1$



ج) $\gamma=0.5$



شکل ۷. سه ناحیه‌ی اول ناپایداری. $c/\pi=0.6$



شکل ۸ اثر ضریب بار استاتیکی بر ناحیه‌ی اصلی ناپایداری $c/\pi=0/6$

ناپایداری کاهش می‌یابد و محدوده‌ی ناپایداری نیز وسیع‌تر می‌شود. نهایتاً مرزهای بالایی (U) و پایینی (L) ناحیه‌ی اصلی ناپایداری در جدول ۲ برای ضرایب بار استاتیکی $\alpha=0/4$ و $\alpha=0/6$ در ورق با ابعاد مختلف و به ازاء طول ترک‌های $c/\pi=0/2$ ، $c/\pi=0/6$ و $c/\pi=0/8$ ارائه شده است.

نتیجه‌گیری

در این نوشتار با استفاده از روش معادلات انتگرالی، رفتار استاتیکی و دینامیکی ورق‌های ترک‌دار در لبه‌ی تحت اثر بار محوری فشاری متناوب در دو لبه‌ی مقابل مورد بررسی قرار گرفت. نتایج به دست آمده از این مطالعه به‌طور خلاصه به شرح زیر است:
الف) مزایای حل به روش معادلات انتگرالی نسبت به روش اجزاء محدود عبارت است از: دقت بالای نتایج، سرعت بالای دستیابی به نتایج، و نیز حجم نسبتاً کم مورد نیاز برای ذخیره‌ی اطلاعات تحلیل.

جدول ۲. ناحیه‌ی اصلی ناپایداری در ورق با طول ترک متفاوت.

$\gamma=2$					
		$c/\pi=0/2$		$c/\pi=0/8$	
α	β	U	L	U	L
0/4	0	-/859	0/859	-/474	0/474
	0/2	-/895	-/821	-/435	0/510
	0/4	-/928	-/782	-/389	0/545
	0/6	-/961	-/740	-/339	0/577
	0/8	-/992	-/679	-/278	0/608
0/6	0	-/782	0/782	-/389	0/389
	0/2	-/821	-/740	-/435	0/329
	0/4	-/859	-/679	-/474	0/278
	0/6	-/895	-/617	-/510	0/198
	0/8	-/928	-/513	-/545	0/07
$\gamma=1$					
		$c/\pi=0/2$		$c/\pi=0/8$	
α	β	U	L	U	L
0/4	0	-/774	0/774	-/654	0/654
	0/2	-/706	0/837	-/596	0/706
	0/4	-/623	0/894	-/523	0/758
	0/6	-/529	0/947	-/464	0/800
	0/8	-/427	0/999	-/379	0/847
0/6	0	-/623	0/623	-/523	0/523
	0/2	-/706	-/549	-/596	0/464
	0/4	-/774	-/427	-/654	0/379
	0/6	-/837	-/316	-/706	0/268
	0/8	-/894		-/758	0/018
$\gamma=0/5$					
		$c/\pi=0/2$		$c/\pi=0/8$	
α	β	U	L	U	L
0/4	0	-/790	0/790	-/742	0/742
	0/2	-/729	0/844	-/677	0/801
	0/4	-/661	0/903	-/606	0/852
	0/6	-/587	0/952	-/525	0/911
	0/8	0/501	1/000	-/429	0/952
0/6	0	-/622	0/622	-/606	0/606
	0/2	-/707	0/548	-/677	0/525
	0/4	-/774	0/427	-/742	0/429
	0/6	-/836	0/317	-/801	0/304
	0/8	-/895	0/19	-/852	0/029

ناحیه‌ی ناپایداری کاهش می‌یابد و در نتیجه ورق‌ها در این حالت نسبت به ناپایداری حساس‌ترند.

د) در ورق‌های ترک‌دار مورد بررسی در این مطالعات، ملاحظه می‌شود هنگامی که نسبت طول به عرض کمتر از واحد است ($\nu < 1$)، اثر اندازه‌ی ترک بر رفتار دینامیکی و کماتش کم‌اهمیت‌تر از زمانی است که نسبت طول به عرض بیشتر یا مساوی واحد ($\nu < 1$) باشد.

ب) از آنجا که روش ارائه شده در این مطالعات ماهیت تحلیلی دارد، تفسیر نتایج حاصل از تحلیل آسان‌تر است و نیز اطمینان به صحت عملکرد مدل، در مقایسه با روش اجزاء محدود بیشتر است.

ج) نتایج تحلیل پایداری دینامیکی در ورق‌های ترک‌دار، (مورد بررسی در این تحقیق) تحت بار تناوبی فشاری در لبه‌های متقابل نشان می‌دهد که با افزایش بخش استاتیکی بارگذاری، عرض ناحیه‌ی ناپایداری افزایش می‌یابد و بسامد نقطه‌ی مرکزی

منابع

- Anifantis, N.K., Actis, R.C. and Diamarogonas, A.D., "Vibration of cracked annular plates", *Engineering Fracture Mechanics*, **49**, pp 371-379 (1994).
- Lee, H.P. and Lim, S.P., "Vibration of cracked rectangular plates including transverse shear deformations and rotary inertia", *Computers and Structures*, **49**, pp 715-718 (1993).
- Qiang, G.L., Gu, S.N. and Jiang, J.S., "A finite element model of cracked plates and application to vibration problems", *Computers and Structures*, **39**, pp 483-487 (1991).
- Stahl, B. and Keer, M., "Vibration and stability of cracked rectangular plates", *International Journal of Solids and Structures*, **8**, pp 69-92 (1972).
- Dyshel, M.S., "Stress - intensity coefficient taking account of local buckling of plates with cracks", *Soviet Applied Mechanics*, **26**, pp 87-90 [English translation of *prikladnaya Mekhanika*] (1990).
- Gilbert, A., Sibillot, P., Sornette, D., Vanneste, C., Maugis, D. and Muttin, F., "Buckling instability and pattern around holes of cracks in thin plates under a tensile load", *European Journal of Mechanics, A/Solids*, **11**, pp 65-89 (1992).
- Quirk, A. and Bevit, E., "Crack stability in centre cracked plates subjected to uniformly-distributed loadings", *Fracture Mechanics Verifications by Large-Scale Testing IAEA Spec. Meet Large Scale Test*, Publ. by MEP, England: Bery St. Edmunds, pp. 87-103 (1991).
- Roy, Y.A., Shastry, B.P. and Rao G.V., "Stability of square plates with through transverse cracks", *Computers and Structures*, **36**, pp 387-388 (1990).
- Riks, E., Rankin, C.C. and Bargon, F.A., "Buckling behavior of a central crack in a plate under tension", *Engineering Fracture Mechanics*, **43**, pp 529-548 (1992).
- Shaw, D. and Huang, Y.H., "Buckling behavior of a central cracked thin plate under tension", *Engineering Fracture Mechanics*, **35**, pp 1019-1027 (1990).
- Vafai, A., Javidruzi, M. and Estekanchi, H.E., "Crack influences on the vibration, buckling and parametric instability of plates", *Proceedings of 2001 ASME International Mechanical Engineering Congress and Exposition*, NY (Nov.11-16, 2001).
- Vafai, A., Javidruzi, M. and Estekanchi, H.E., "Parametric instability of edge cracked plates", *Int. J. Thin-Walled Struct.*, **40**, pp 29-44 (2002).
- Vafai, A., Javidruzi, M. and Estekanchi, H.E., "Vibration, buckling and dynamic stability of centrally cracked plates", (Submitted).
- Bolotin, V.V., *The Dynamic Stability of Elastic Systems*, San Francisco, Holden-Day (1964).
- Kratzig, W.B. and Niemann, H.J., *Dynamic of Civil Engineering Structures*, Netherlands, A.A. Balkema Publishers (1996).
- Hutt, J.M. and Salam, A.E., "Dynamic stability of plates by finite element method", *Journal of Engineering Mechanics Division ASCE*, pp 879-899 (1971).
- Prabhakara, D.L. and Datta P.K., "Vibration, buckling and parametric instability behavior of plates with centrally located cutouts subjected to in-plane edge loading (tension or compression)", *Thin-Walled Structures*, **27**, pp 287-310 (1997).